

С.І. Круковський², А.В. Сукач¹, В.В. Тетьоркін¹, І.О. Мрихін², Ю.С. Михашук²

Електричні властивості подвійних гетероструктур InP/InGaAsP

¹ Інститут фізики напівпровідників Ім. В.Є. Лашкарьова НАН України проспект Науки, 41, 03028 Київ, Україна
² НВП „Карат” вул. Стрийська, 202, 79031 Львів, Україна

Методом рідинно-фазної епітаксії вирощені подвійні гетеропереходи p^+ -InP/ n -InGaAsP/ n -InP та встановлено взаємозв'язок між технологічними режимами вирощування та їх фізичними властивостями. Показано, що використання цинку в якості легуючої акцепторної домішки InP спричиняє формування дифузійного p - n переходу в шарі n -InGaAsP. Досліджені механізми проходження темного струму в інтервалі температур 77 – 378 К і встановлено, що при температурах 77-250 К реалізуються тунельні струми при прямих та зворотних напругах зміщення. При температурах $T > 290$ К переважає генераційно-рекомбінаційний струм. Показано, що найбільш ймовірною причиною тунельного струму є наявність дислокацій невідповідності в шарі InGaAsP, генерованих в процесі вирощування гетеропереходів.

Ключові слова: подвійний гетероперехід, тунельний струм, дислокація, інфрачервоний

Стаття постуила до редакції 22.05.2011; прийнята до друку 15.09.2011.

Вступ

Незважаючи на суттєвий прогрес у технології вирощування подвійних гетеропереходів (ПГ) p^+ -InP/ $n(p)$ -InGaAsP/ n -InP [1] і розробці оптоелектронних приладів на їх основі [2 - 4], актуальними залишаються вирішення завдань з відтворюваності складу і електрофізичних параметрів активної InGaAsP області, зменшення впливу фонових домішок на концентрацію основних носіїв заряду в ній, з'ясування механізмів деградації і природи надлишкових темнових струмів в таких структурах [1 - 5]. Використання рідкісноземельних елементів (РЗЕ) у технології ПГ дає можливість відтворювано отримувати концентрацію основних носіїв заряду в активній області $\leq 10^{16}$ см⁻³ [6 - 8]. Проте використання РЗЕ при вирощуванні фосфорвмістних сполук (InP, InGaAsP та ін.) пов'язане з подоланням технологічних проблем, обумовлених високою хімічною активністю РЗЕ по відношенню до фосфору з можливим утворенням хімічних сполук, внаслідок чого може порушитися фазова рівновага між розчином-розплавом і підкладкою. Ще однією з технологічних проблем у використанні РЗЕ при вирощуванні структур InP/InGaAsP методом РФЕ є встановлена у праці [8] їх гранична концентрація, перевищення якої у розплаві індію призводить до суттєвого погіршення структурно-морфологічної якості шарів InGaAsP.

Метою роботи є встановлення взаємозв'язку між технологічними режимами вирощування ПГ p^+ -InP/ n -

InGaAsP/ n -InP методом РФЕ з використанням РЗЕ та їх електрофізичними і фотоелектричними властивостями.

І. Зразки та експериментальні методики

Епітаксійні шари InP та InGaAsP вирощувались методом РФЕ у графітовій слайдерній касеті з розплаву індію чистотою 99.9999 на підкладках n^+ -InP з концентрацією електронів $n^+ \approx 2 \cdot 10^{18}$ см⁻³ і кристалографічною орієнтацією робочої поверхні (100). Температура початку епітаксії для шарів InP становила 680 та 650 °С для шарів InGaAsP. Кристалізація шарів здійснювалась із переохолодженого розчин-розплаву при швидкості охолодження 0.8 °С/хв. Необхідні для очищення шарів від фонових домішок елементи алюміній та ітербій додавались у шихту перед завантаженням у касету. Для насичення розплавів по фосфору використовувався полікристалічний порівняно чистий InP з концентрацією електронів $\sim (5 - 7) \cdot 10^{15}$ см⁻³ ($T = 300$ К).

Гомогенізація розчин-розплаву відбувалась впродовж 1,5 – 2,0 годин в атмосфері очищеного паладієвими фільтрами водню з точкою роси -70° С. Безпосередньо перед початком нарощування шару поверхня підкладки підрозчинялась у недонасиченому розплаві індію. Товщини автоепітаксійних шарів становили 5 – 7 мкм з

Таблиця

Параметри прямої ВАХ

Температура, К	I_{01} , А	E_0 , меВ	I_{02} , А	β	R_s , Ом	$R_{ш}$, Ом	α
378	$2.5 \cdot 10^{-8}$	80.5	$3.6 \cdot 10^{-10}$	1.7	7.4	$1.5 \cdot 10^6$	$7.5 \cdot 10^4$
320	$1.2 \cdot 10^{-9}$	74.5	$4.0 \cdot 10^{-12}$	1.8	11.7	$3.4 \cdot 10^6$	$1.0 \cdot 10^5$
266	$5.5 \cdot 10^{-11}$	69.8	$2.8 \cdot 10^{-12}$	2.3	16.7	$5.4 \cdot 10^7$	$4.6 \cdot 10^5$
231	$3.5 \cdot 10^{-11}$	72.0	$3.0 \cdot 10^{-13}$	2.6	17.2	$6.5 \cdot 10^7$	$4.8 \cdot 10^5$
144	$7.1 \cdot 10^{-12}$	69.2	$2.8 \cdot 10^{-14}$	4.3	16.8	$8.9 \cdot 10^7$	$5.0 \cdot 10^5$
77	$1.8 \cdot 10^{-12}$	70.1	$3.0 \cdot 10^{-14}$	9.0	-	$1.4 \cdot 10^8$	$6.3 \cdot 10^5$

концентрацією електронів $(5 - 7) \cdot 10^{17} \text{ см}^{-3}$ та рухливістю $1500 \text{ см}^2/\text{В} \cdot \text{с}$ при $T = 300 \text{ К}$. За буферним автоепітаксійним InP-шаром вирощувався шар сполуки n - InGaAsP ($E_g \approx 1,17 \text{ еВ}$) з концентрацією електронів $(1 - 2) \cdot 10^{17} \text{ см}^{-3}$ і товщиною $3 - 4 \text{ мкм}$. У подальшому на шарі сполуки InGaAsP вирощувався легований цинком емітерний шар p^+ -InP товщиною $2 - 3 \text{ мкм}$ з концентрацією дірок $(2 - 3) \cdot 10^{18} \text{ см}^{-3}$.

В якості омичного контакту до p -InP використовувався сплав In-Zn з 3% вмістом цинку, а для n -InP – чистий індій. Контактні площадки наносились термовакuumним методом з наступною термообробкою в атмосфері очищеного водню при температурі $\sim 400 \text{ }^\circ\text{C}$ впродовж $3 - 5 \text{ хв}$. Технологія виготовлення омичного контакту до InP відпрацьовувалась попередньо на зразках n - та p -типу провідності.

Для виготовлення мезаструктур використовувався травник: соляна кислота + оцтова кислота + перекис водню у співвідношенні 1:2:1. Спеціально проведеними дослідженнями було встановлено відсутність поверхневої провідності мезаструктури з використанням такого травника. Активна площа мезаструктури становила $(2,5 - 3,0) \times 10^{-3} \text{ см}^2$, діаметр верхнього точкового контакту не перевищував $0,15 \text{ мм}$, а нижній був суцільним.

Темнові ВАХ вимірювались на постійному струмі в інтервалі температур $77 - 378 \text{ К}$, причому температура зразка підтримувалась з точністю $\pm 0,5 \text{ }^\circ\text{C}$. Розподіл основних носіїв заряду не гетеромежі контролювався методом високочастотних (1 МГц) вольт-фарадних характеристик (ВФХ). Вимірювання спектрального розподілу ампер-ватної чутливості зразків здійснювався в режимі струму короткого замикання.

II. Результати експерименту та їх обговорення

Для з'ясування характеру розподілу основних носіїв заряду на межі потенціального бар'єру ПГ були проведені вимірювання високочастотних ВФХ. Експериментальні результати лінеаризувались в координатах $C^2 - U$ при зворотних напругах зміщення $0 < U \leq 1,5 \text{ В}$, причому емінсна напруга відсічки становила $U_C = 1,4 - 1,5 \text{ В}$, що перевищує

ширину забороненої зони InP ($E_g \approx 1,35 \text{ еВ}$) при $T = 300 \text{ К}$ [9]. Таке високе значення U_C може обумовлюватись як впливом послідовного опору, так і глибоких центрів, локалізованих в області просторового заряду (ОПЗ) гетероструктури на ВФХ [10, 11]. За нахилом лінійної ділянки ВФХ, побудованої в координатах $C^2 - U$, оцінено значення ефективної концентрації основних носіїв заряду в квазінейтральній області, яка становила $N_{ef} \approx (7 \pm 0,5) \cdot 10^{15} \text{ см}^{-3}$ при $T = 295 \text{ К}$, що вказує на формування компенсованої області на гетеромежі. Товщина ОПЗ за нульової напруги зміщення була $\sim 0,57 \text{ мкм}$.

Результати вимірювань прямих ВАХ ПГ в інтервалі температур $77 - 378 \text{ К}$ представлено на рис. 1, з якого видно, що експериментальні результати аналітично можливо описати виразом

$$I = I_{01} \exp(eU / E_0) + I_{02} \exp\left(\frac{eU - IR_s}{bkT}\right), \quad (1)$$

де I_{01} , I_{02} - передекспоненційні множники для першої та другої експоненційних ділянок, E_0 - характеристична енергія, R_s - послідовний опір, β - коефіцієнт неідеальності. Результати обробки прямих ВАХ за виразом (1) представлено в таблиці, на основі аналізу цих результатів можливо сформулювати наступне. Значення характеристичної енергії E_0 в інтервалі температур $77 - 266 \text{ К}$ майже не залежить від температури, а при $T > 266 \text{ К}$ - збільшується. Залежність $I_{01}(T^{-1})$ в інтервалі температур $288 - 378 \text{ К}$ є активаційною з енергією активації $\Delta E \approx 0,68 \text{ еВ}$, що було отримано з представлення експериментальних результатів в координатах $\lg I_{01} - T^{-1}$, а при $T < 266 \text{ К}$ - безактиваційною, аналогічна закономірність спостерігається і для залежності $I_{02}(T^{-1})$. Для другої експоненційної ділянки ВАХ в інтервалі температур $288 - 378 \text{ К}$ значення β зменшується від 2,0 до 1,7, як це видно з таблиці, і цей факт, разом з тим, що значення енергії активації залежності $I_{02}(T^{-1})$ для цього ж інтервалу температур становить $\sim E_g / 2$, сполуки InGaAsP за температури абсолютного нуля однозначно вказує на реалізацію генераційно-рекомбінаційної складової темного струму. При $T \leq 266 \text{ К}$ коефіцієнт $\beta > 2$,

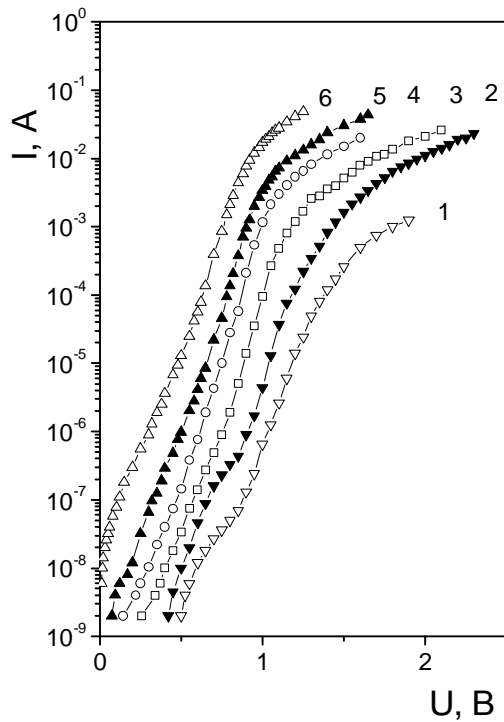


Рис. 1. Прямі ВАХ за температур, К: 77 (1), 144 (2), 231 (3), 288 (4), 320 (5), 378 (6).

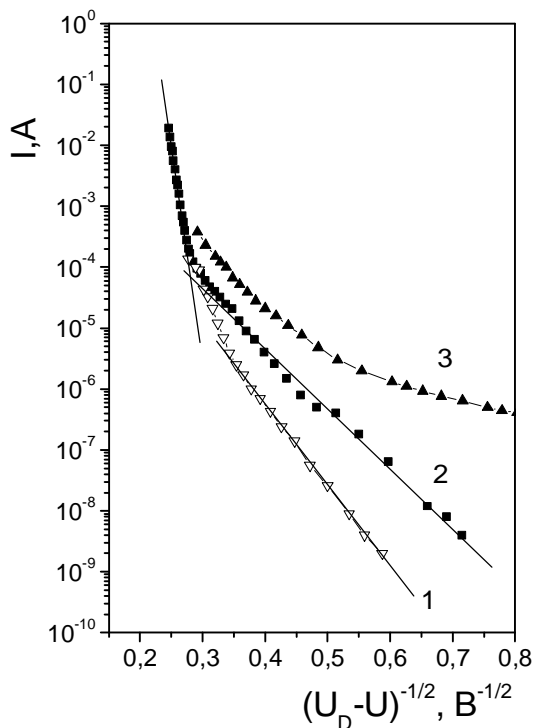


Рис. 2. Зворотні ВАХ за температур, К: 77 (1), 288 (2), 378 (3).

що враховує безактиваційний характер залежності $I_{02}(T^{-1})$, свідчить про реалізацію тунельної компоненти струму. Порівняно високі значення шунтуючого опору $R_{ш}$ ПГ, які визначались за

диференціальним опором зворотних ВАХ при напрузі зміщення $U \approx 2$ В, а також його зростання зі зменшенням температури, вказують на мінімальний вплив поверхневої провідності мезаструктури на результати вимірювань. Про досить високу інжекційну здатність потенціального бар'єру виготовлених структур свідчить і максимальне значення коефіцієнта випрямлення α . Зауважимо також, що за $T = 77$ К структура переходить у більш низькоомний стан при досягненні значень струму ~ 2 мА, а ВАХ набуває S-подібної форми, що не дозволило визначити R_S . Такий характер ВАХ може пояснюватися перезарядженням глибоких центрів у компенсованій області.

Поширеним методом дискримінації тунельного струму в бар'єрних структурах при зворотних зміщеннях є представлення ВАХ в координатах $\lg I - (U_D - U)^{-1/2}$ [12]. На рис. 2 показані зворотні ВАХ у вказаних координатах, з якого видно задовільну лінеаризацію експериментальних результатів в межах трьох порядків зміни темного струму (криві 1, 2). Причому при менших зміщеннях лінійна ділянка темного струму може бути обумовлена тунелюванням носіїв за участю дефектів (включаючи дислокації), а при більших – міжзонним тунелюванням [13 - 16]. Відсутність лінеаризації ВАХ при високій температурі (крива 3) свідчить про переважаючий вклад в темновий струм генераційної компоненти.

Температурні залежності темного струму ПГ при $U = \text{const}$ як при прямих, так і зворотних напругах зміщення приведені на рис. 3. Активаційний характер ВАХ чітко спостерігається за

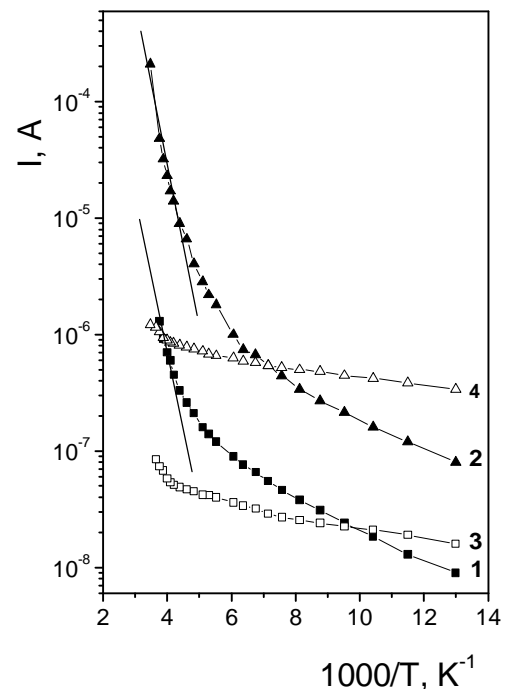


Рис. 3. Температурні залежності прямого (1, 2) та зворотного (3, 4) темнових струмів при напругах зміщення, В: 1 – 0,5; 2 – 0,9; 3 – 3; 4 – 5.

$T > 250$ К при прямих напругах зміщення (криві 1, 2) з енергією активації $\Delta E \approx 0,65$ еВ, а безактиваційний за $T \leq 250$ К як для прямих (криві 1, 2), так і зворотних (криві 3, 4) напруг зміщення.

Результати вимірювань спектрального розподілу фоточутливості та спектра електролюмінесценції ПГ приведені на рис. 4. Нетривіальним до очікуваного є спектр фоточутливості (крива 1). Для активної області структури, що збігається з межею

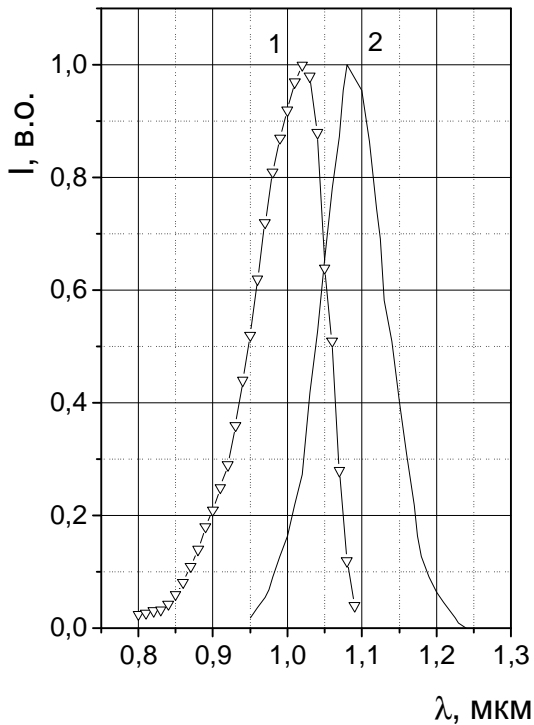


Рис. 4. Спектральний розподіл фоточутливості ПГ p^+ -InP/ p -n- InGaAsP/ n -InP (1) та спектр електролюмінесценції (2) при постійній густині струму 14.1 A/cm^2 за $T = 295$ К.

гетеропереходу p^+ -InP/ n -InGaAsP, очікуваний спектр фоточутливості повинен бути неселективним, а, враховуючи „ефект вікна” у гетеропереходах, спектральна область порівняно однорідної фоточутливості становила б $\Delta \lambda \approx 0,92 - 1,06$ мкм, як це спостерігалось у праці [17]. Селективний характер кривої 1 свідчить про те, що активна фоточутлива область структури і межа гетеропереходу p^+ -InP/ n -InGaAsP не співпадають. Найбільш ймовірною причиною такої розбіжності може бути дифузія цинку з епітаксійного шару p^+ -InP:Zn в n -InGaAsP область з формуванням у ній p - n -переходу у процесі вирощування ПГ. Достатньо висока концентрація основних носіїв заряду в n -InGaAsP ($\sim 10^{17} \text{ cm}^{-3}$) вимагає для формування p -області також високої концентрації легуючої акцепторної домішки цинку, що обумовлює у квазінейтральних областях InGaAsP p - n -переходу малий ефективний час життя [18], та малі довжини дифузії нерівноважних носіїв заряду (< 1 мкм). У випадку, коли глибина залягання p - n -переходу l більша за довжину дифузії нерівноважних електронів L_n в p -InGaAsP, утворюється

нефоточутливий шар товщиною $l - L_n$, що спричиняє селективний характер спектра з p - n -переходом в InGaAsP, тобто формується ПГ типу p^+ -InP/ p -n-InGaAsP/ n -InP. Довгохвильовий спад спектра фоточутливості структури обумовлюється спектральною залежністю фундаментального поглинання в InGaAsP, а короткохвильовий – поглинанням випромінювання в нефотоактивній області p -InGaAsP. Зазначимо, що довжина хвилі, яка відповідає довгохвильовому напіспаду спектра фоточутливості, становить $\lambda_c \approx 1,06$ мкм і узгоджується з шириною забороненої зони $E_g \approx 1,17$ еВ сполуки InGaAsP за $T = 295$ К. Важлива властивість спектральної фоточутливості ПГ – відсутність зміни полярності сигналу фотоструму в спектральному діапазоні $\Delta \lambda = 0,9 - 1,1$ мкм. Цей факт вказує на те, що на гетеромежі ізотипного гетеропереходу n -InP/ n -InGaAsP достатньо мала густина поверхневих станів, а також на відсутність потенціального бар'єру на контактах. При високій густині поверхневих станів на гетеромежі енергетичну зонну діаграму ізотипного гетеропереходу можливо представити у вигляді двох діодів Шоттки, ввімкнених назустріч один одному [19]. У цьому випадку полярність фотосигналу в довгохвильовій області $\lambda > 1,05$ мкм повинна змінити знак, аналогічний ефект спостерігався б і при наявності бар'єру на контактах. Освітленість ПГ зі сторони p^+ -InP призводить до генерації на освітлюваному контакті позитивної полярності фото-ЕРС, що відповідає як енергетичній діаграмі p^+ -InP/ n -InGaAsP/ n -InP гетеропереходу, так і p^+ -InP/ p -n-InGaAsP/ n -InP.

Загальний вигляд спектра електролюмінесценції ПГ при густині постійного струму живлення $\sim 14.1 \text{ A/cm}^2$ представлено кривою 2 на рис. 4. Максимум спектра електролюмінесценції становить $\lambda_{ma} \approx 1,08$ мкм, а енергетична півширина спектра ~ 120 меВ відповідає умові селективності. Слід зазначити, що спектр електролюмінесценції є асиметричним з більш плавним зменшенням його інтенсивності в довгохвильовій області $\lambda > \lambda_{max}$. Така асиметрія спектра може пояснюватись самопоглинанням короткохвильового випромінювання в InGaAsP, що здатне змістити положення максимуму спектра в більш довгохвильову область у порівнянні з очікуваним значенням $\lambda_{max} = 1,06$ мкм. При струмі 50 мА досягнута потужність випромінювання 0,37 мВт, причому залежність потужності ІЧ випромінювання від струму живлення має степеневий характер з показником $\sim 1,3$.

Висновки

1. Встановлено взаємозв'язок між технологічними режимами вирощування подвійних гетеропереходів p^+ -InP/ n -InGaAsP/ n -InP методом рідинно-фазної епітаксії та їх фізичними властивостями. Показано, що використання цинку в якості легуючої акцепторної домішки InP спричиняє

формування дифузійного р-п переходу в шарі n-InGaAsP, що зумовлює зміщення максимуму спектра електролюмінесценції у довгохвильову область ($\lambda_{max} = 1,08$ мкм) і зменшення потужності ІЧ випромінювання.

2. Досліджені механізми проходження темного струму в інтервалі температур 77 – 378 К і встановлено, що при температурах 77 - 250 К

реалізуються тунельні струми при прямих та зворотних напругах зміщення. При температурах $T > 290$ К переважає генераційно-рекомбінаційний струм. Показано, що найбільш ймовірною причиною тунельного струму є наявність дислокацій невідповідності в шарі InGaAsP, генерованих в процесі вирощування гетеропереходів.

- [1] Получение гетероструктур InP/InGaAsP/InP методом жидкофазной эпитаксии и отдельное приготовление растворов-расплавов / М.Г. Васильев, А.М. Васильев, Д.М. Вилк и др. // Изв. РАН. Неорганич. матер.– 43, №7. – С. 775 – 780. – (2007).
- [2] Окоси Т., Окамото К., Оцу М. и др. Волоконно-оптические датчики. – Ленинград: Наука,– 256 с. (1990).
- [3] Мощные одномодовые лазерные диоды на основе квантово-размерных InGaAsP/InP- гетероструктур ($\lambda = 1.3 - 1.6$ мкм) / А.Ю. Лешко, А.В. Лютецкий, Н.А. Пихтин и др. // Там же.– 36(11). – С. 1393 – 1399. – (2002).
- [4] Мощные диодные лазеры ($\lambda = 1.7 - 1.8$ мкм) на основе асимметричных квантово-размерных InGaAsP/InP- гетероструктур отдельного ограничения / А.В. Лютецкий, Н.А. Пихтин, Н.В. Фетисова и др. // Там же. — 43(12). – С. 1646 – 1649. (2009).
- [5] Карачевцева М.В., Страхов В.А., Яременко Н.Г. Туннельно-рекомбинационные токи в неидеальных гетероструктурах InGaAsP/InP // ФТП.– 28(6). – С. 1027 – 1031. – (1994).
- [6] Гореленок А.Т., Каманин А.В., Шмидт Н.М. Редкоземельные элементы в технологии $A^{III}B^V$ и приборов на их основе // ФТП. — 37(8). – С. 922 – 940. (2003).
- [7] Characterization of InP and GaInAsP layers prepared by liquid – phase epitaxy using holmium doping and gettering / O. Prochazkova, J. Oswald, J. Zavadil et al. // Material Science and Engineering., (B) — 44(2). – P. 160 – 163. (1997).
- [8] Круковский С.И. Комплексно-легированные эпитаксиальные структуры InP/InGaAsP для оптоэлектроники // Технология и конструирование в электронной аппаратуре. — №2. – С. 27 – 31. (2006).
- [9] Стрельченко С.С., Лебедев В.В. Соединения A^3B^5 . Справочник. – М.: Металлургия, 1984. – 144 с.
- [10] Константинов О.В., Мезрин О.А. Влияние последовательного сопротивления диода Шоттки на его эффективную емкость // ФТП.– 17(2). – С. 305 – 311. (1983).
- [11] Берман Л.С. Емкостные методы исследований полупроводников. – Л.: Наука, – 104 с. (1972).
- [12] Милнс А., Фойхт Д. Гетеропереходы и переходы метал – полупроводник. – М.: Мир, – 432 с. (1975).
- [13] Влияние несоответствия постоянных решетки на квантовый выход излучательной рекомбинации гетероструктур / В.Е Уманский, С.Г. Конников, Д.З. Гарбузов и др. // ФТП.- 16(8).- С.1496-1499. (1982).
- [14] Токи туннельного типа в *p-n*- гетероструктурах InGaAsP/InP / А.Т. Гореленок, В.Г. Груздов, В.В. Евстропов и др. // ФТП.– 18(6). – С. 1034 – 1038. (1984).
- [15] Влияние несоответствия параметров решеток на *I-U*- характеристики InGaAsP/InP *p-n*- гетероструктур / А.Т. Гореленок, В.Г. Груздов, В.В. Евстропов и др. // Там же.. 18(8). – С. 1413 – 1416. (1984).
- [16] Обратные токи в *p-n*- гетероструктурах InGaAsP/InP / А.Т. Гореленок, В.Г. Груздов, В.В. Евстропов и др. // Там же. – 18(11). – С. 2036 – 2040. (1984).
- [17] Исследование токов утечки планарных *p-n*- переходов в InP и *p-i-n*- структур на основе InGaAs/InP / В.М. Андреев, А.Т. Гореленок, М.З. Жингарев и др. // ФТП.– 19(4). – С. 668 – 673. (1985).
- [18] Рекомбинационные процессы в InGaAsP/InP ДГС с $\lambda = 1 \div 1.5$ мкм / Д.З. Гарбузов, В.В. Агаев, З.П. Соколова и др. // ФТП.– 18(6). – С. 1069 – 1076. (1984).
- [19] Шарма Б.Л., Пурохит Р.К. Полупроводниковые гетеропереходы. – М.: Советское радио,– 232 с. (1979).